

## МОДЕЛИРОВАНИЕ ВЛИЯНИЯ ПОЛЯ СКОРОСТЕЙ НА ИНТЕНСИВНОСТЬ ЭЛЕКТРОСИНТЕЗА ОЗОНА В ПОТОКЕ ГАЗА

Построена модель электросинтеза озона в ламинарном потоке кислорода и воздуха через барьерный электрический разряд, учитывающая поле скоростей газа в меняющемся температурном поле разрядного промежутка. Результаты численных экспериментов на модели объясняют специфическое поведение концентрации озона в различных областях разрядного промежутка. Высокая степень адекватности модели реальным процессам в барьерных электрических озонаторах позволяет вести оптимизационные расчеты озонаторов при их конструировании.

Интенсивность электросинтеза озона в потоке кислородсодержащего газа через барьерный электрический разряд существенно зависит, в частности, от времени пребывания газа в зоне разряда и его температуры [1]. Эти параметры, в свою очередь, зависят от характера течения газа, что следует из теоретических гипотез и экспериментов [2, 3]. Поэтому в работе ставилась комплексная задача:

– определить поле скоростей течения озонируемого газа в разрядном промежутке барьерного электрического озонатора с учетом его узости, специфического характера тепловыделения и поля температуры в барьерном разряде;

– исследовать влияние неоднородности поля скоростей на процесс электросинтеза озона в барьерном электрическом озонаторе.

### РАСЧЕТ ПОЛЯ СКОРОСТЕЙ

Большинство промышленных озонаторов [1] предназначены для работы на протяжении длительного времени в стационарном режиме. Поэтому при математическом описании движения газа в разрядном промежутке мы считаем движение газа установившимся во времени. Число Рейнольдса для потока газа в разрядном промежутке озонатора обычно не превосходит 200. Это означает, что течение газа ламинарное. Используемые в озонаторах скорости течения газа значительно меньше скорости звука, поэтому эффектами сжимаемости газа во время движения можно пренебречь.

Таким образом, приходим к выводу, что для математического описания движения газа при ламинарном его течении можно воспользоваться стационарным гидродинамическим уравнением Навье – Стокса [4]. Записанное в плоской системе координат, оно для пластинчатого озонатора выглядит следующим образом (координаты см. рис. 1):

$$V_x \frac{\partial V_x}{\partial x} + V_y \frac{\partial V_x}{\partial y} = -\frac{1}{\rho} \frac{\partial p}{\partial x} + \nu \left( \frac{\partial^2 V_x}{\partial x^2} + \frac{\partial^2 V_x}{\partial y^2} \right), \quad (1)$$

$$V_x \frac{\partial V_y}{\partial x} + V_y \frac{\partial V_y}{\partial y} = -\frac{1}{\rho} \frac{\partial p}{\partial y} + \nu \left( \frac{\partial^2 V_y}{\partial x^2} + \frac{\partial^2 V_y}{\partial y^2} \right). \quad (2)$$

Здесь  $\{V_x, V_y\}$  – вектор скорости,  $p$  – давление,  $\rho$  – плотность газа,  $\nu$  – кинематический коэффициент его вязкости. Уравнение неразрывности среды замыкает систему (1), (2).

Уравнения (1) и (2) содержат динамический коэффициент вязкости  $\eta = \nu \rho$ , где  $\nu$  – кинематический коэффициент вязкости. Известно [4], что динамический коэффициент вязкости, является функцией только абсолютной температуры и согласно формуле Саттерленда [4] его можно аппроксимировать как

$$\eta = \eta_0 \left( \frac{T}{T_0} \right)^n, \quad (3)$$

где  $T_0$  – абсолютная температура и  $\eta_0$  – динамический коэффициент вязкости, соответствующие некоторому начальному состоянию,  $n = 3/4$  при

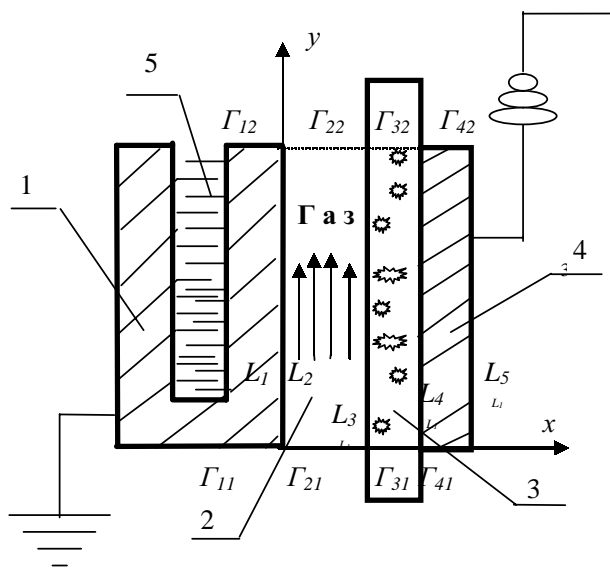


Рисунок 1. Схема разрядного промежутка барьерного электрического озонатора:

1, 4 – металлические электроды; 2 – разрядный промежуток; 3 – диэлектрический барьер; 5 – охлаждающая жидкость

абсолютных температурах  $250^{\circ} < T < 600^{\circ}$  и  $n = 1$  при  $T = 250^{\circ} \text{ C}$ .

Таким образом, по полю температуры есть возможность определять зависимость вязкости газа от координат точки в канале.

По предварительным расчетам выяснено, что перепад давления в разрядном промежутке незначителен (до 10 Па), поэтому мы считаем, что плотность газа в нем меняется только за счет изменения температуры. Поскольку различные озонаторы могут иметь различные режимы давления при работе, то расчет плотности газа будем вести по следующей из [5] формуле

$$\rho_t = \frac{\rho_0 \cdot H}{(1 + \alpha_p \cdot t) \cdot 10^5}, \quad (4)$$

где  $\alpha_p = 0,00367$  1/град. коэффициент расширения газа при постоянном давлении;

$t$  – температура газа в  $^{\circ} \text{ C}$ ;

$\rho_0$  – плотность газа при  $0^{\circ} \text{ C}$  и атмосферном давлении;

$H$  – давление газа при температуре  $t^{\circ} \text{ C}$ , выраженное в Па.

Существуют алгоритмы и программы численного решения уравнения Навье – Стокса. Однако частный случай рассматриваемого в задаче течения газа по плоскому и узкому каналу позволяет получить аналитическое решение.

Вход газа в канал происходит параллельно его стенкам. Узость канала течения газа позволяет сделать следующие упрощения. В случае практически идеальной параллельности стенок канала можно считать, что

$$V_z = 0 \quad \text{и} \quad \frac{\partial V_x}{\partial z} = \frac{\partial V_y}{\partial z} = 0. \quad (5)$$

Для оценки значимости слагаемых в уравнениях (1) и (2) задачи введем безразмерные переменные, отражающие геометрию канала, следующим образом:

$$x = \Delta \tilde{x}, \quad y = l \cdot \tilde{y}, \quad V_x = V_0 \cdot \tilde{V}_x, \quad V_y = V_0 \cdot \tilde{V}_y, \quad (6)$$

$$p = p_0 \cdot \tilde{p}, \quad \rho = \rho_0 \cdot \tilde{\rho}, \quad \eta = \eta_0 \cdot \tilde{\eta}.$$

Здесь с волной обозначены безразмерные переменные,  $V_0$  – средняя скорость газа на входе в канал,  $p_0$  – давление газа во входном сечении канала,  $l$  – длина канала,  $\Delta$  – толщина газового слоя. После подстановки (6) в уравнения (1) и (2), учета (5) и ввода обозначения  $\varepsilon = \frac{\Delta}{l}$  получим

$$\text{Re} \left( \tilde{V}_x \frac{\partial \tilde{V}_x}{\partial \tilde{x}} + \varepsilon \tilde{V}_y \frac{\partial \tilde{V}_x}{\partial \tilde{y}} \right) =$$

$$= - \frac{p_0 \cdot \Delta}{V_0 \cdot \eta_0} \cdot \frac{\partial \tilde{p}}{\partial \tilde{x}} + \frac{\partial^2 \tilde{V}_x}{\partial \tilde{x}^2} + \varepsilon^2 \cdot \frac{\partial^2 \tilde{V}_x}{\partial \tilde{y}^2},$$

$$\text{Re} \left( \tilde{V}_x \frac{\partial \tilde{V}_y}{\partial \tilde{x}} + \varepsilon \tilde{V}_y \frac{\partial \tilde{V}_y}{\partial \tilde{y}} \right) = \quad (7)$$

$$= - \frac{p_0 \cdot \Delta^2}{V_0 \cdot \eta_0 \cdot l} \cdot \frac{1}{\eta} \cdot \frac{\partial \tilde{p}}{\partial \tilde{y}} + \frac{\partial^2 \tilde{V}_y}{\partial \tilde{x}^2} + \varepsilon^2 \frac{\partial^2 \tilde{V}_y}{\partial \tilde{y}^2},$$

$$\frac{\partial}{\partial \tilde{x}} (\tilde{\rho} \tilde{V}_x) + \varepsilon \frac{\partial}{\partial \tilde{y}} (\tilde{\rho} \tilde{V}_y) = 0.$$

Граничные условия для системы (7) следует записать так:

$$\tilde{V}_y(\tilde{x}, 0) = 1, \quad \tilde{V}_x(\tilde{x}, 0) = 0 \quad \text{при} \quad 0 < \tilde{x} < 1,$$

$$\tilde{V}_y(0, \tilde{y}) = \tilde{V}_y(1, \tilde{y}) =$$

$$= \tilde{V}_x(0, \tilde{y}) = \tilde{V}_x(1, \tilde{y}) = 0 \quad \text{при} \quad 0 < \tilde{y} < 1, \quad (8)$$

$$\tilde{p}(\tilde{x}, 0) = 1, \quad \tilde{p}(\tilde{x}, 1) = 1 + \frac{\Delta p}{P_0} \quad \text{при} \quad 0 \leq \tilde{x} \leq 1,$$

где  $\Delta p$  – перепад давления на разрядном промежутке озонатора. В дальнейшем в связи с тем, что  $\varepsilon \ll 1$ , мы пренебрегаем слагаемыми, содержащими этот параметр. При этом условии получаем:

$$\text{Re} \cdot \tilde{V}_x \frac{\partial \tilde{V}_x}{\partial \tilde{x}} = - \frac{p_0 \cdot \Delta}{V_0 \cdot \eta_0} \cdot \frac{1}{\tilde{\eta}} \cdot \frac{\partial \tilde{p}}{\partial \tilde{x}} + \frac{\partial^2 \tilde{V}_x}{\partial \tilde{x}^2},$$

$$\text{Re} \cdot \tilde{V}_x \frac{\partial \tilde{V}_y}{\partial \tilde{x}} = - \frac{p_0 \cdot \Delta^2}{l \cdot V_0 \cdot \eta_0} \cdot \frac{1}{\tilde{\eta}} \cdot \frac{\partial \tilde{p}}{\partial \tilde{y}} + \frac{\partial^2 \tilde{V}_y}{\partial \tilde{x}^2}, \quad (9)$$

$$\frac{\partial}{\partial \tilde{x}} (\rho \tilde{V}_x) = 0.$$

Из последнего уравнения системы (9) следует, что  $\rho \tilde{V}_x$  не зависит от переменной  $\tilde{x}$ . А так как при  $\tilde{x} = 0$  и  $\tilde{x} = 1$   $\tilde{V}_x = 0$ , то  $\tilde{V}_x \equiv 0$ . С учетом последнего из 1-го уравнения (9) получаем  $\frac{\partial \tilde{p}}{\partial \tilde{x}} = 0$ , т. е.  $\tilde{p}$  не зависит от  $\tilde{x}$ , а из 2-го уравнения

$$\frac{\partial^2 \tilde{V}_y}{\partial \tilde{x}^2} = \frac{p_0 \Delta^2}{l V_0 \eta_0} \cdot \frac{1}{\tilde{\eta}} \cdot \frac{d \tilde{p}}{d \tilde{y}}. \quad (10)$$

Дважды интегрируя (10) по  $\tilde{x}$ , с учетом граничных условий  $\tilde{V}_y|_{\tilde{x}=0} = \tilde{V}_y|_{\tilde{x}=1} = 0$  (прилипание к стенке) получим

$$\tilde{V}_y = \frac{p_0 \Delta^2}{l V_0 \eta_0} \cdot \frac{d \tilde{p}}{d \tilde{y}} \left[ \int_0^{\tilde{x}} \int_0^{\tilde{x}} \frac{d \tilde{\xi}_1}{\tilde{\eta}(\tilde{\xi}_1, \tilde{y})} d \tilde{\xi}_1 - \tilde{x} \int_0^{\tilde{x}} \frac{d \tilde{\xi}_1}{\tilde{\eta}(\tilde{\xi}_1, \tilde{y})} d \tilde{\xi}_1 \right]. \quad (11)$$

Здесь в простейшем случае при  $\tilde{\eta}(\tilde{x}, \tilde{y}) \equiv 1$ , очевидно, получается параболическое распределение скоростей

$$\tilde{V}_y = \frac{p_0 \Delta^2}{l V_0 \eta_0} \cdot \frac{d \tilde{p}}{d \tilde{y}} \cdot \frac{\tilde{x}(\tilde{x} - 1)}{2}. \quad (12)$$

Далее для нахождения функции  $\frac{d\tilde{p}}{d\tilde{y}}$  используем условие постоянства массового расхода газа через все поперечные сечения канала течения и его равенства расходу на входе. Оно запишется как

$$V_0 \cdot A \cdot \Delta \cdot \rho_0 = \int_0^{\Delta} A \cdot V_y \tilde{V}_y(\tilde{x}, \tilde{y}) \rho_0 \tilde{\rho}(\tilde{x}, \tilde{y}) \Delta d\tilde{x}, \quad (13)$$

где  $A$  – суммарный периметр разрядных промежутков озонатора. Равенство (13) преобразуется к виду

$$1 = \int_0^1 \tilde{V}_y(\tilde{x}, \tilde{y}) \tilde{\rho}(\tilde{x}, \tilde{y}) d\tilde{x}. \quad (14)$$

Отсюда с учетом (11) получим

$$1 = \frac{\rho_0 \cdot \Delta^2}{1 \cdot V_0 \cdot \eta_0} \cdot \frac{d\tilde{p}}{d\tilde{y}} \left\{ \int_0^1 \tilde{\rho}(\tilde{x}, \tilde{y}) \left[ \int_0^{\tilde{x}} \int_0^{\tilde{\xi}} \frac{d\tilde{\xi}_1}{\tilde{\eta}(\tilde{\xi}_1, \tilde{y})} d\tilde{\xi} - \right. \right. \\ \left. \left. - \tilde{x} \int_0^1 \frac{d\tilde{\xi}_1}{\tilde{\eta}(\tilde{\xi}_1, \tilde{y})} d\tilde{\xi} \right] d\tilde{x} \right\}. \quad (15)$$

После преобразований интегралов путем изменения порядка интегрирования из (15) получается

$$1 = \frac{\rho_0 \cdot \Delta^2}{1 \cdot V_0 \cdot \eta_0} \cdot \frac{d\tilde{p}}{d\tilde{y}} \int_0^1 \tilde{\rho}(\tilde{x}, \tilde{y}) \left\{ \int_0^{\tilde{x}} \frac{\tilde{x} - \tilde{\xi}}{\tilde{\eta}(\tilde{\xi}, \tilde{y})} d\tilde{\xi} - \right. \\ \left. - \tilde{x} \int_0^1 \frac{1 - \tilde{\xi}}{\tilde{\eta}(\tilde{\xi}, \tilde{y})} d\tilde{\xi} \right\} d\tilde{x}. \quad (16)$$

Отсюда выражаем

$$\frac{d\tilde{p}}{d\tilde{y}} = \frac{1 \cdot V_0 \cdot \eta_0}{\rho_0 \cdot \Delta^2} \left\{ \int_0^1 \tilde{\rho}(\tilde{x}, \tilde{y}) \left[ \int_0^{\tilde{x}} \frac{\tilde{x} - \tilde{\xi}}{\tilde{\eta}(\tilde{\xi}, \tilde{y})} d\tilde{\xi} - \right. \right. \\ \left. \left. - \tilde{x} \int_0^1 \frac{1 - \tilde{\xi}}{\tilde{\eta}(\tilde{\xi}, \tilde{y})} d\tilde{\xi} \right] d\tilde{x} \right\}^{-1}. \quad (17)$$

Из (17) интегрированием получаем давление газа в канале

$$\tilde{p}(\tilde{y}) = \frac{1 \cdot V_0 \cdot \eta_0}{\rho_0 \cdot \Delta^2} \int_0^{\tilde{y}} \left\{ \int_0^1 \tilde{\rho}(\tilde{x}, \tilde{\tau}) \left[ \int_0^{\tilde{x}} \frac{\tilde{x} - \tilde{\xi}}{\tilde{\eta}(\tilde{\xi}, \tilde{\tau})} d\tilde{\xi} - \right. \right. \\ \left. \left. - \tilde{x} \int_0^1 \frac{1 - \tilde{\xi}}{\tilde{\eta}(\tilde{\xi}, \tilde{\tau})} d\tilde{\xi} \right] d\tilde{x} \right\}^{-1} d\tilde{\tau} + C^*. \quad (18)$$

Оно определяется из дифференциальных уравнений (1) и (2) всегда с точностью до аддитивной постоянной  $C^*$ . Если же учесть извест-

ное безразмерное давление в начале канала ( $\tilde{y} = 0$ ), равное 1, то получим следующее выражение для давления в канале течения

$$\tilde{p}(\tilde{y}) = 1 + \frac{1 \cdot V_0 \cdot \eta_0}{\rho_0 \cdot \Delta^2} \int_0^{\tilde{y}} \left\{ \int_0^1 \tilde{\rho}(\tilde{x}, \tilde{\tau}) \left[ \int_0^{\tilde{x}} \frac{\tilde{x} - \tilde{\xi}}{\tilde{\eta}(\tilde{\xi}, \tilde{\tau})} d\tilde{\xi} - \right. \right. \\ \left. \left. - \tilde{x} \int_0^1 \frac{1 - \tilde{\xi}}{\tilde{\eta}(\tilde{\xi}, \tilde{\tau})} d\tilde{\xi} \right] d\tilde{x} \right\}^{-1} d\tilde{\tau}. \quad (19)$$

Переход к размерному давлению дает для безразмерного  $0 \leq \tilde{y} \leq 1$

$$p(y) = p_0 + \frac{1 \cdot V_0 \cdot \eta_0}{\Delta^2} \int_0^y \left\{ \int_0^1 \tilde{\rho}(\tilde{x}, \tilde{\tau}) \left[ \int_0^{\tilde{x}} \frac{\tilde{x} - \tilde{\xi}}{\tilde{\eta}(\tilde{\xi}, \tilde{\tau})} d\tilde{\xi} - \right. \right. \\ \left. \left. - \tilde{x} \int_0^1 \frac{1 - \tilde{\xi}}{\tilde{\eta}(\tilde{\xi}, \tilde{\tau})} d\tilde{\xi} \right] d\tilde{x} \right\}^{-1} d\tilde{\tau} \quad (20)$$

или для размерного  $0 \leq y \leq 1$

$$p(y) = p_0 + \rho_0 V_0 \cdot \Delta^2 \int_0^y \left\{ \int_0^{\Delta} \rho(x, \tau) \left[ \Delta \cdot \int_0^x \frac{x - \xi}{\eta(\xi, \tau)} d\xi - \right. \right. \\ \left. \left. - x \int_0^{\Delta} \frac{\Delta - \xi}{\eta(\xi, \tau)} d\xi \right] dx \right\}^{-1} d\tau. \quad (21)$$

В (21) все переменные размерные.

Полученные здесь формулы (11), (17) и (21) дают возможность рассчитывать необходимые для тепловых расчетов характеристики ламинарного течения газа в разрядном промежутке пластинчатого озонатора. К примеру, при исходной температуре газа и электрода без диэлектрического покрытия – минус 40° С поведение скорости течения газа изображено на рис. 2.

### РАСЧЕТ ПОЛЯ ТЕМПЕРАТУРЫ

Расчет поля температуры в газе производился с учетом тепловыделения и теплораспределения в остальных элементах озонатора и отвода тепла в холодильники. При этом использовались соответственно зонам на рис. 1 следующие уравнения.

Зона 2:

$$\lambda_{\Gamma} \left( \frac{\partial^2 T_2}{\partial x^2} + \frac{\partial^2 T_2}{\partial y^2} \right) + q_{\Gamma} - \rho \cdot c_p \left( V_x \frac{\partial T_2}{\partial x} + V_y \frac{\partial T_2}{\partial y} \right) = 0. \quad (22)$$

Для зон 1, 3, 4  $\frac{\partial^2 T_i}{\partial x^2} + \frac{\partial^2 T_i}{\partial y^2} = 0$  ( $i = 1, 3, 4$ ). (23)

Здесь:  $\lambda_\Gamma$  – коэффициент теплопроводности газа,  $q_\Gamma$  – плотность мощности тепловыделения в газе.

Граничные условия для системы уравнений (22, 23) с учетом незначительности потерь на торцевых границах барьера и электродов запишутся в следующем виде (обозначения см. на рис. 1):

$T_2|_{\Gamma_{21}} = T_{и}$  – исходная температура газа;

$\frac{\partial T_1}{\partial y}|_{\Gamma_{11}} = \frac{\partial T_1}{\partial y}|_{\Gamma_{12}} = \frac{\partial T_2}{\partial y}|_{\Gamma_{21}} = 0$ ; (24)

$\frac{\partial T_3}{\partial y}|_{\Gamma_{31}} = \frac{\partial T_3}{\partial y}|_{\Gamma_{32}} = \frac{\partial T_4}{\partial y}|_{\Gamma_{41}} = \frac{\partial T_4}{\partial y}|_{\Gamma_{42}} = 0$ ;

$T_1|_{L_2} = T_2|_{L_2}$   $T_2|_{L_3} = T_3|_{L_3}$   $T_3|_{L_4} = T_4|_{L_4}$ ;

$\lambda_B \frac{\partial T_3}{\partial x}|_{L_4} = \lambda_M \frac{\partial T_4}{\partial x}|_{L_4}$ ;  $\alpha (T_1|_{L_1} - T_x) = \lambda_M \frac{\partial T_1}{\partial x}|_{L_1}$ ;

$\frac{\partial T_4}{\partial x}|_{L_5} = 0$ ;  $\lambda_M \frac{\partial T_1}{\partial x}|_{L_2} = \lambda_\Gamma \frac{\partial T_2}{\partial x}|_{L_2} + q_{ГМ}^*$ ;

$\lambda_\Gamma \frac{\partial T_2}{\partial x}|_{L_3} = \lambda_B \frac{\partial T_3}{\partial x}|_{L_3} + q_{ГБ}^*$ .

Здесь  $\alpha$  – коэффициент теплоотдачи в холодильник,  $\lambda_M$ ,  $\lambda_\Gamma$  – коэффициенты теплопроводности соответственно металла электродов и диэлектрического барьера;  $q_{ГМ}^*$ ,  $q_{ГБ}^*$  – соот-

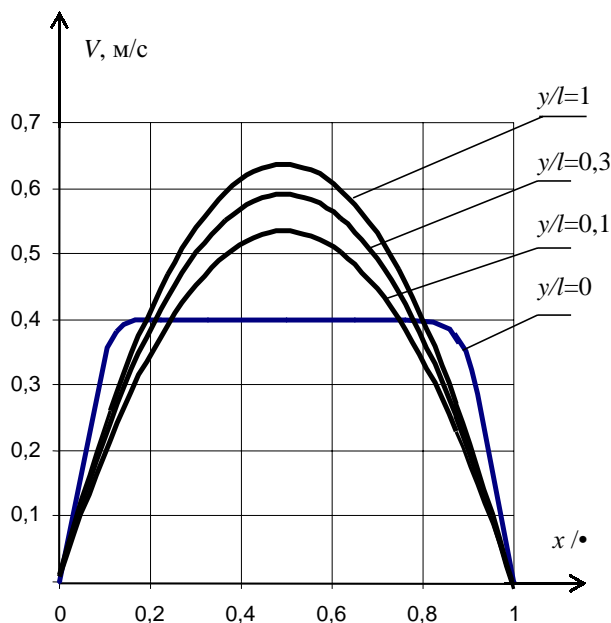


Рисунок 2. Зависимость скорости течения газа от расстояния «у» точки до входа.

ветственно поверхностные плотности мощности тепловыделения на металле 1 и барьере 3. Соотношение между интенсивностью тепловыделения в газе, металле и барьере экспериментально установлено в виде 0,1:0,36:0,54.

Таким образом, математическая модель тепловых явлений в элементах озонатора окончательно представляется нами совокупностью системы уравнений (22, 23) и граничных условий (24).

Решение поставленной задачи проводилось численно итерационным способом.

Расчеты для частного случая, приведенные на рис. 3, показывают наличие существенной неоднородности поля температуры в разрядном промежутке озонатора.

### РАСЧЕТ ПОЛЯ КОНЦЕНТРАЦИИ ОЗОНА

По полученному выше полю температуры в газе рассчитывается поле констант образования и разложения озона в разрядном промежутке. Для этого используется аппроксимация их зависимости от температуры по известным результатам экспериментального исследования [6].

Обобщение кинетического уравнения образования озона в направлении учета времени пребывания кислорода в зоне электрического разряда имеет вид [2]

$\frac{dC}{dx} V_x + \frac{dC}{dy} V_y = q[k_0(T(x; y)) - k_1(T(x; y))C]$ . (25)

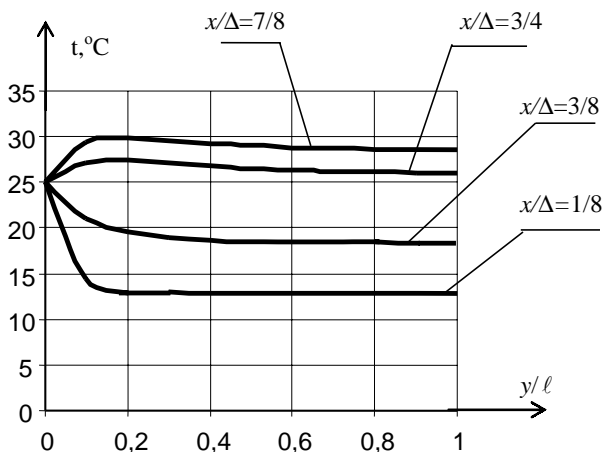


Рисунок 3. Изменение температуры в продольных сечениях разрядного промежутка в зависимости от расстояния до входа.

Исходная температура газа – 25°C;  
удельная мощность разряда – 570 Вт/м²;  
средняя скорость течения газа – 1 м/с.  
длина электродов – l.

Оно дает возможность определить поле объемной концентрации озона в разрядном промежутке (рис. 4).

Для воздуха ранее построена аппроксимация кинетики образования озона при барьерном разряде в потоке воздуха [2]:

$$C_{O_3}(x; y) = \alpha C(x; y) - C_N (1 - e^{-\frac{q(y)}{P_N} \int_0^y \frac{\sqrt{1+(x^\ominus(\eta))^2}}{V_y(x(\eta), \eta)} d\eta}). \quad (26)$$

Здесь  $C_{O_3}(x; y)$  – объемная концентрация озона при разряде в воздухе,  $C(x; y)$  – объемная концентрация озона при разряде в чистом кислороде,  $\alpha$  – коэффициент сенсibiliзирующего влияния азота [7],  $1/P_N$  – обобщенная константа разложения окислов азота,  $C_N$  – отношение константы образования низших окислов азота к константе их разложения (предельно возможная концентрация низших окислов азота).

Здесь налицо отражение моделью характерных особенностей распределения концентрации озона, которые подтверждаются экспериментами:

– возрастание средней концентрации озона по пути следования газа по разрядному промежутку (рис. 4, 5) и последующее ее убывание в случае с воздухом (рис. 5);

– снижение концентрации в середине потока газа и ее повышение в направлении к электродам;

– наличие двух максимумов концентрации на некотором расстоянии от поверхности электродов в случае с воздухом (рис. 5);

– более высокая концентрация озона у охлаждаемого электрода (на рис. 4, 5 слева), чем у неохлаждаемого.

Таким образом:

– во-первых, модель при помощи учета сложности ламинарного течения газа в разрядном промежутке с различными скоростями течения в слоях производит учет различия во времени

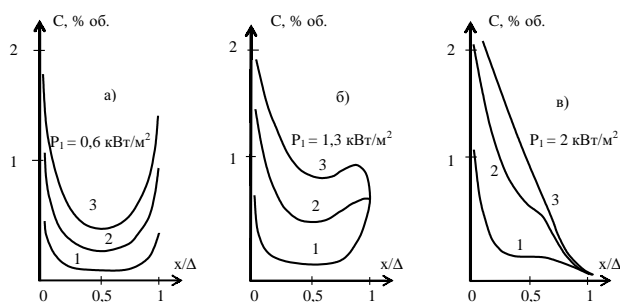


Рисунок 4. Зависимость концентрации озона (при различных значениях удельной мощности разряда в потоке кислорода) от расстояния  $x$  до охлаждаемого электрода в поперечных сечениях разрядного промежутка, отстоящих от входа на: (1) – 0,1 •; (2) – 0,5 •; (3) – •

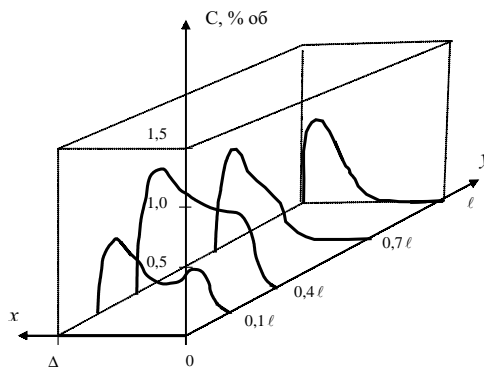


Рисунок 5. Изменение концентрации озона в поперечных сечениях разрядного промежутка озонатора при электросинтезе озона в ламинарном потоке воздуха

пребывания частиц газа в зоне разряда и, как следствие, учет различий в степени их насыщения озонном;

– во-вторых, модель учитывает влияние на электросинтез озона меняющихся температурных условий по пути следования частиц газа по разрядному промежутку.

Все это позволяет производить на модели поисковые оптимизационные исследования при конструировании озонаторов.

**Список использованной литературы:**

1. Самойлович В.Г., Гибалов В.И., Козлов К.В. Физическая химия барьерного разряда. – М.: МГУ, 1989. – 175 с.
2. Кирко И.М., Кузнецов В.А. Математическое моделирование электросинтеза озона // Теоретические основы теплотехники: межвузовский сборник научных трудов. – Магнитогорск: Магнитогорский госуниверситет, Уральский государственный технический университет, 2000. – 17 с.
3. Kozlov K.V., Wagner H-E, Brandenburg R., Michel P. Spatio-temporally resolved spectroscopic diagnostics of the barrier discharge in air at atmospheric pressure. – J. Phys. D: Appl. Phys. 34. – 2001. – pp.3164-31765.
4. Лойцянский Л.Г. Механика жидкости и газа. М.: Наука, 1973. 743с.
5. Краткий физико-технический справочник / Под ред. К.П. Яковлева. – М.: Физматгиз, 1960. – 446 с.
6. Филиппов Ю.В., Вобликова В.А., Пантелеев В.И. Электросинтез озона. М., 1987. – 237 с.
7. Крапивина С.А. Плазмохимические технологические процессы. – Л.: Химия, 1981. – 248 с.